天文用補償光学システム開発の考え方

高見英樹

国立天文台 情報通信研究機構(宇宙光通信)

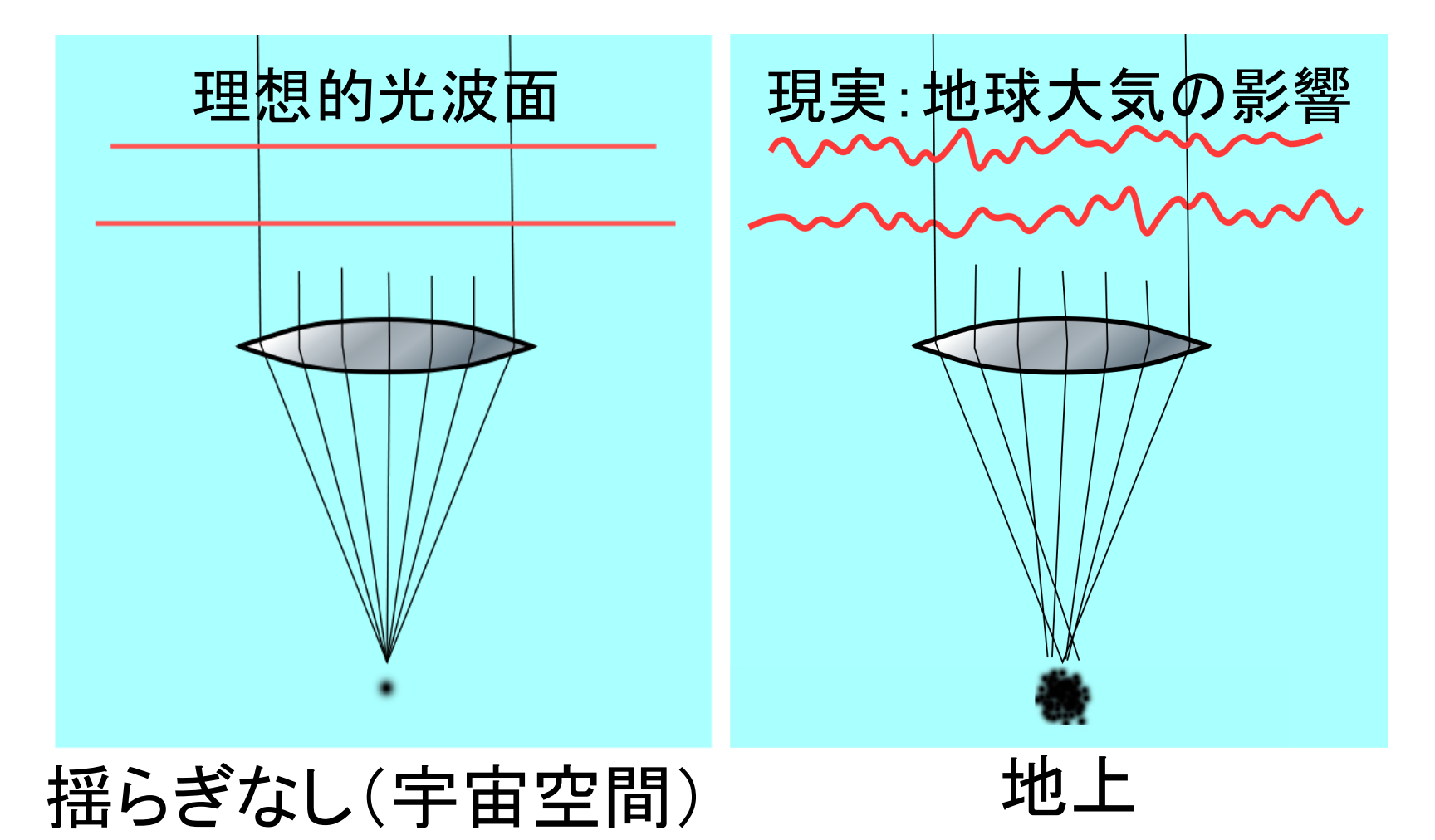
今日の話のモチベーション

AOの開発にはいろんな要素があるが、それを整理して開発者の役に立てば嬉しい。特に日本のシーイング条件でのAOの開発でどう考えればよいか。

そうでない方には、AOが何で、どのように働くか、どんなサイエンスができるか、についてイメージをつかんでもらえると嬉しい。

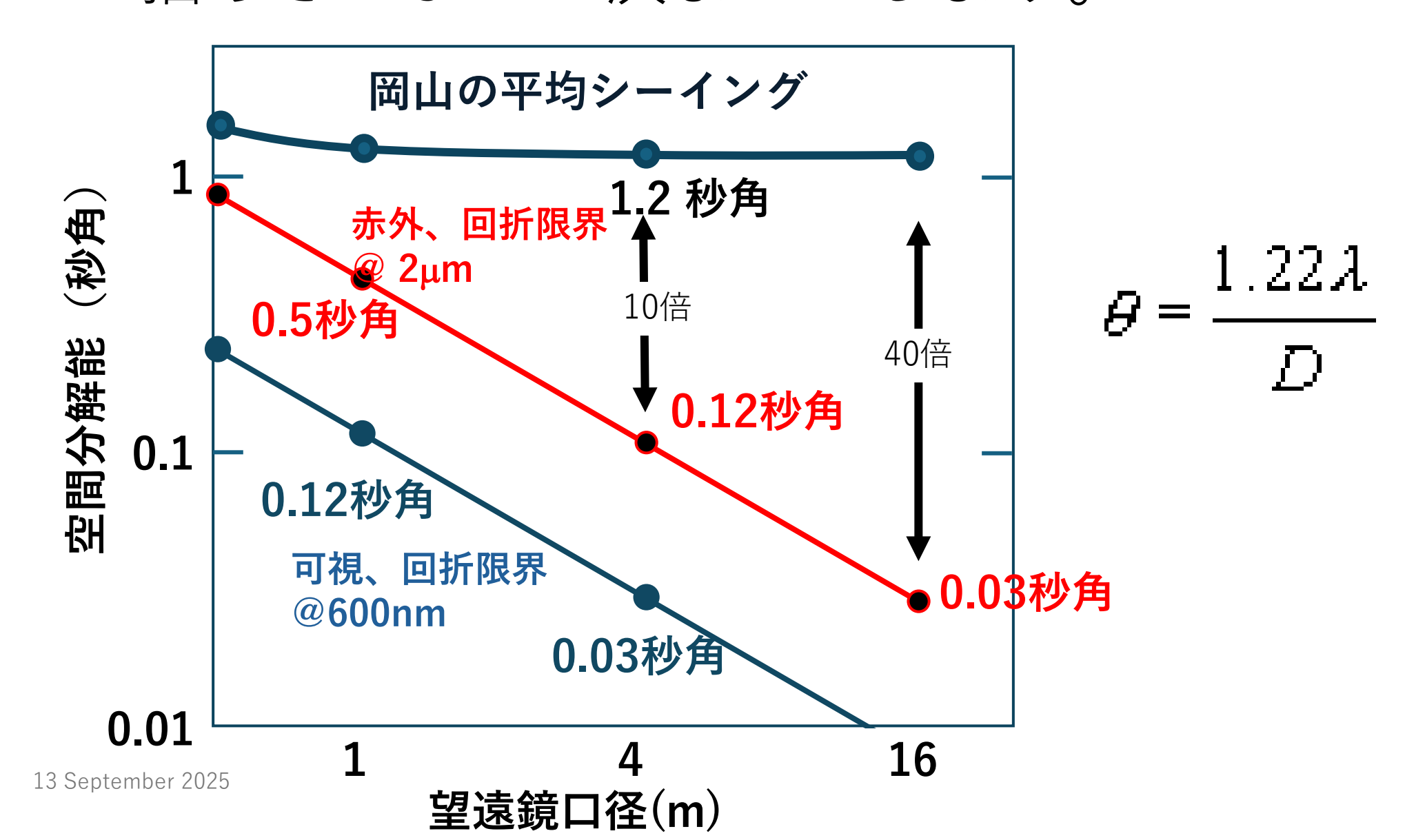
第一部 補償光学とは

高解像度を邪魔するもの⇒大気の揺らぎ



レンズがデコボコしているのと同じ 更に悪いのはそれが時々刻々変化している

望遠鏡の空間分解能は、口径ではなく大気揺らぎによって決まってしまう。



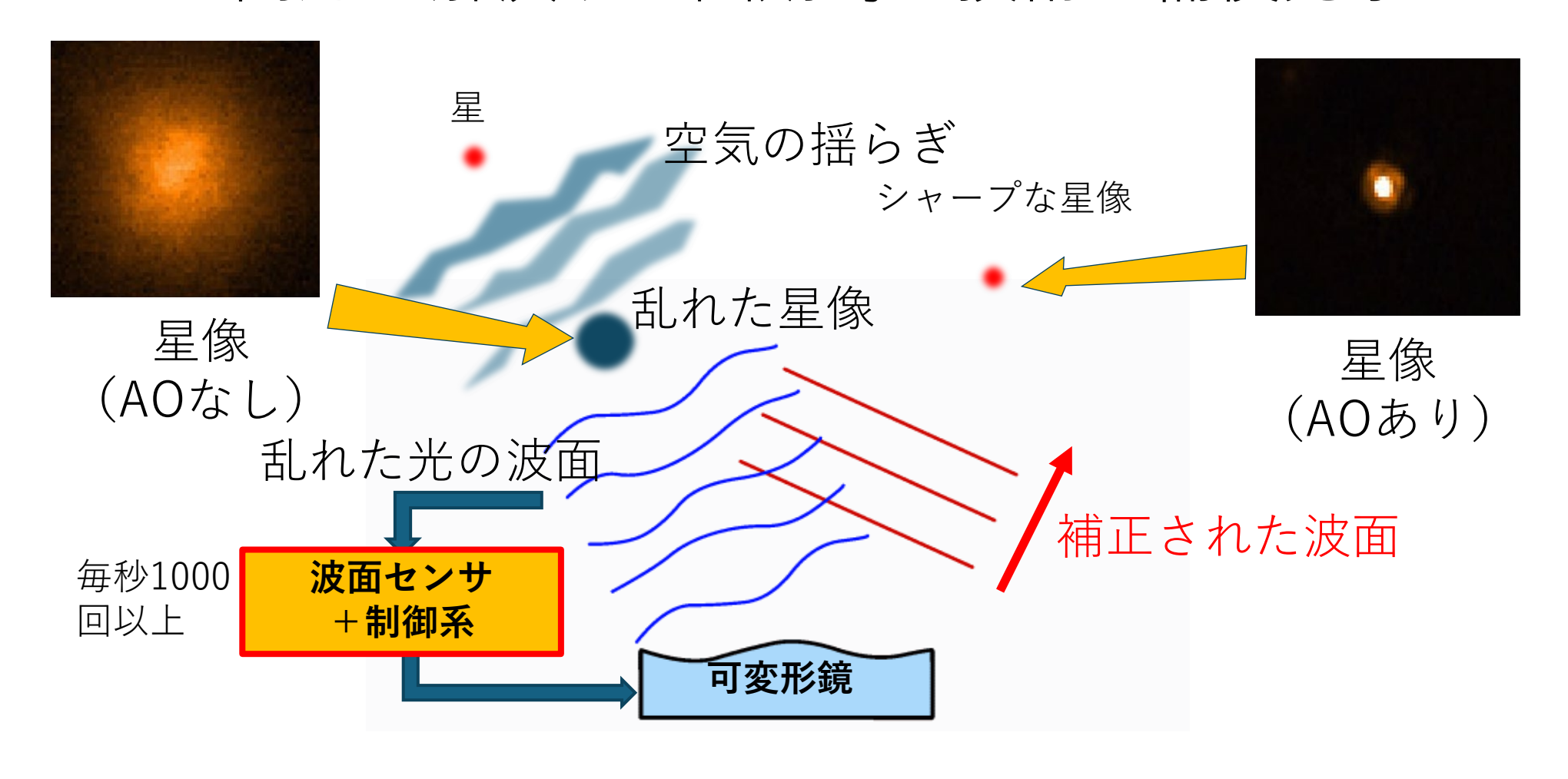
すばる望遠鏡で観測した大気揺らぎを通った星像 (H あるいはKバンド)

回折限界の像の 大きさ

クレジット: Oliver Guyon

大気揺らぎで乱された星像 (Starfire Observatory, おそらく可視光)

この問題を解決する画期的な技術:補償光学



乱れた光の波面のズレを打ち消すように、可変形鏡の表面をミリ秒でサ ブミクロンの精度で凹凸させる。

(原理は、音波でいうとノイズキャンセレーションヘッドホンと同じ)

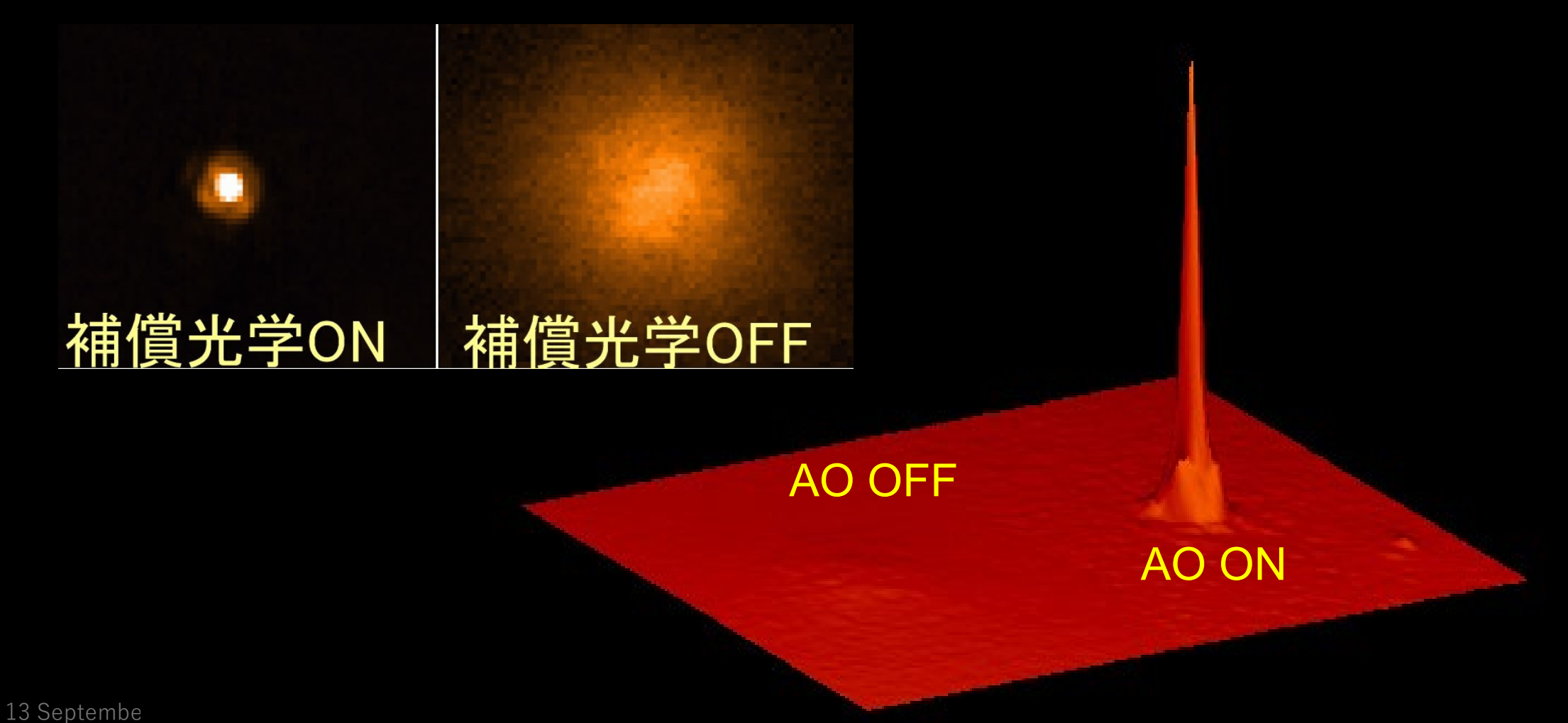


補償光学で補正した星像 (明るさはログスケールなので背景は強調されている)

回折限界の像の大きさ

クレジット: Oliver Guyon

すばる望遠鏡補償光学による時間平均された補正像(2006)



補償光学によるサイエンス

惑星

恒星

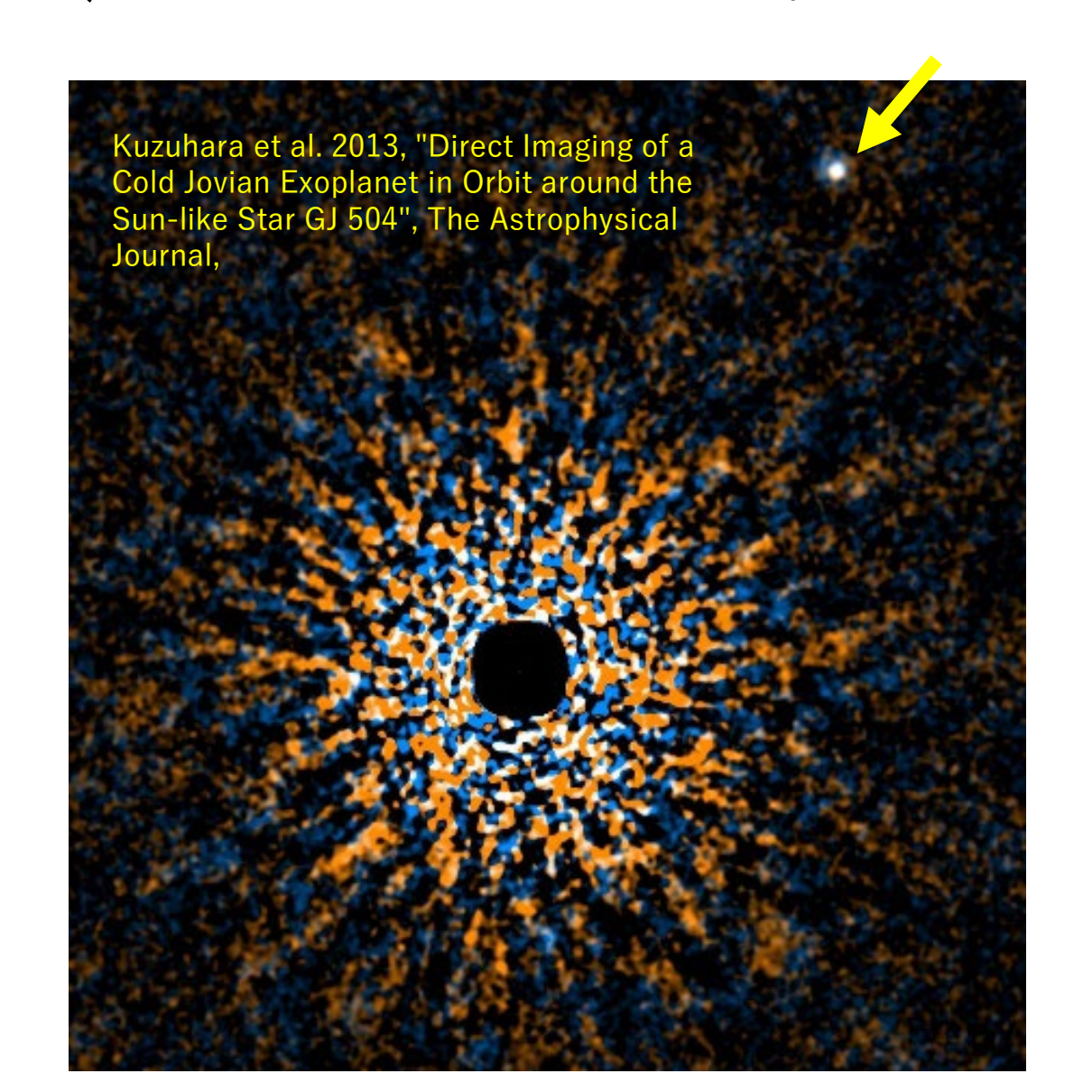
惑星

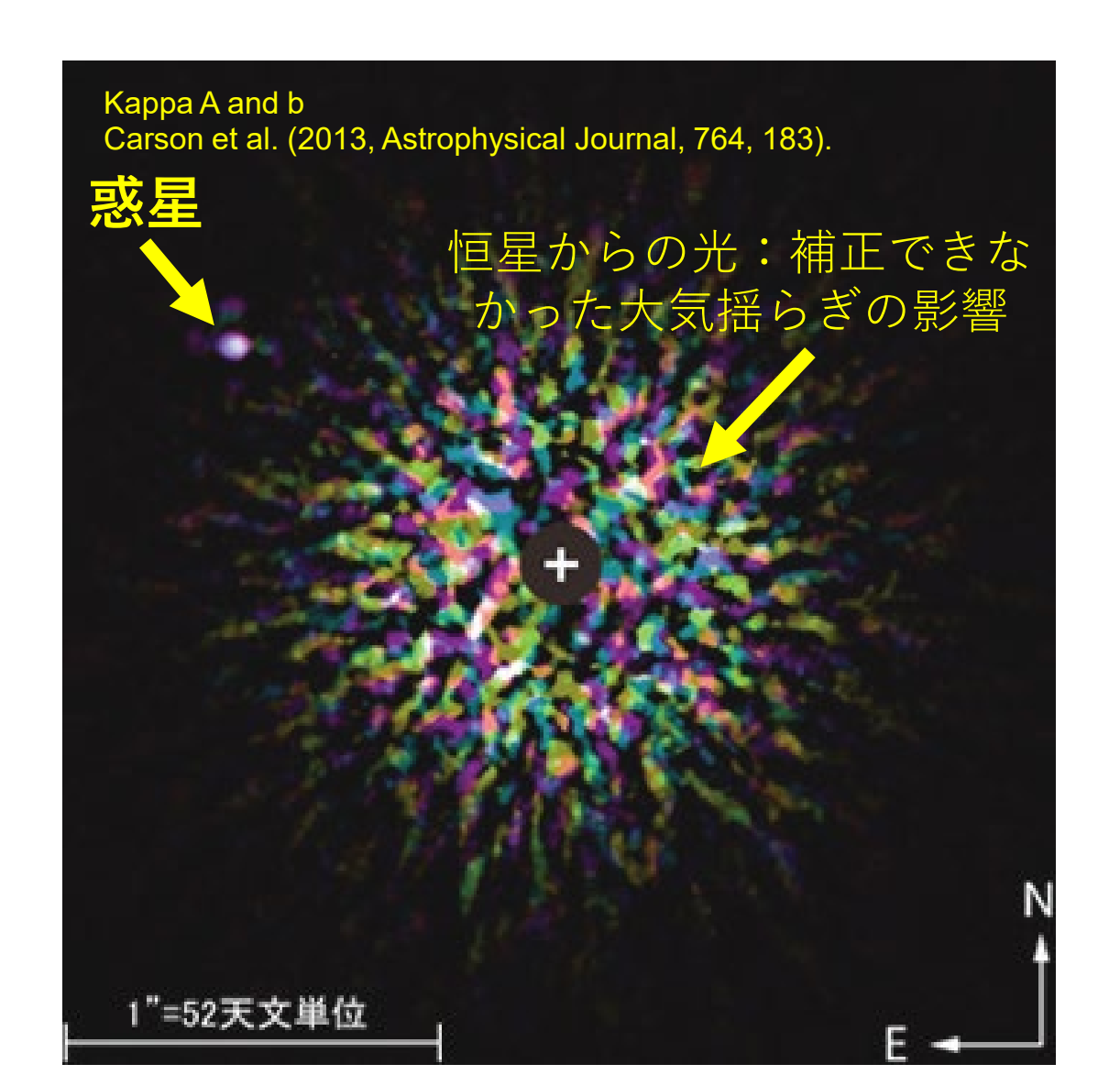
塵の円盤

太陽系外の惑星 (想像図)

クレジット: 国立天文台

すばる望遠鏡が発見した太陽系外の惑星 (恒星からはかなり離れている、太陽一海王星の距離くらい)

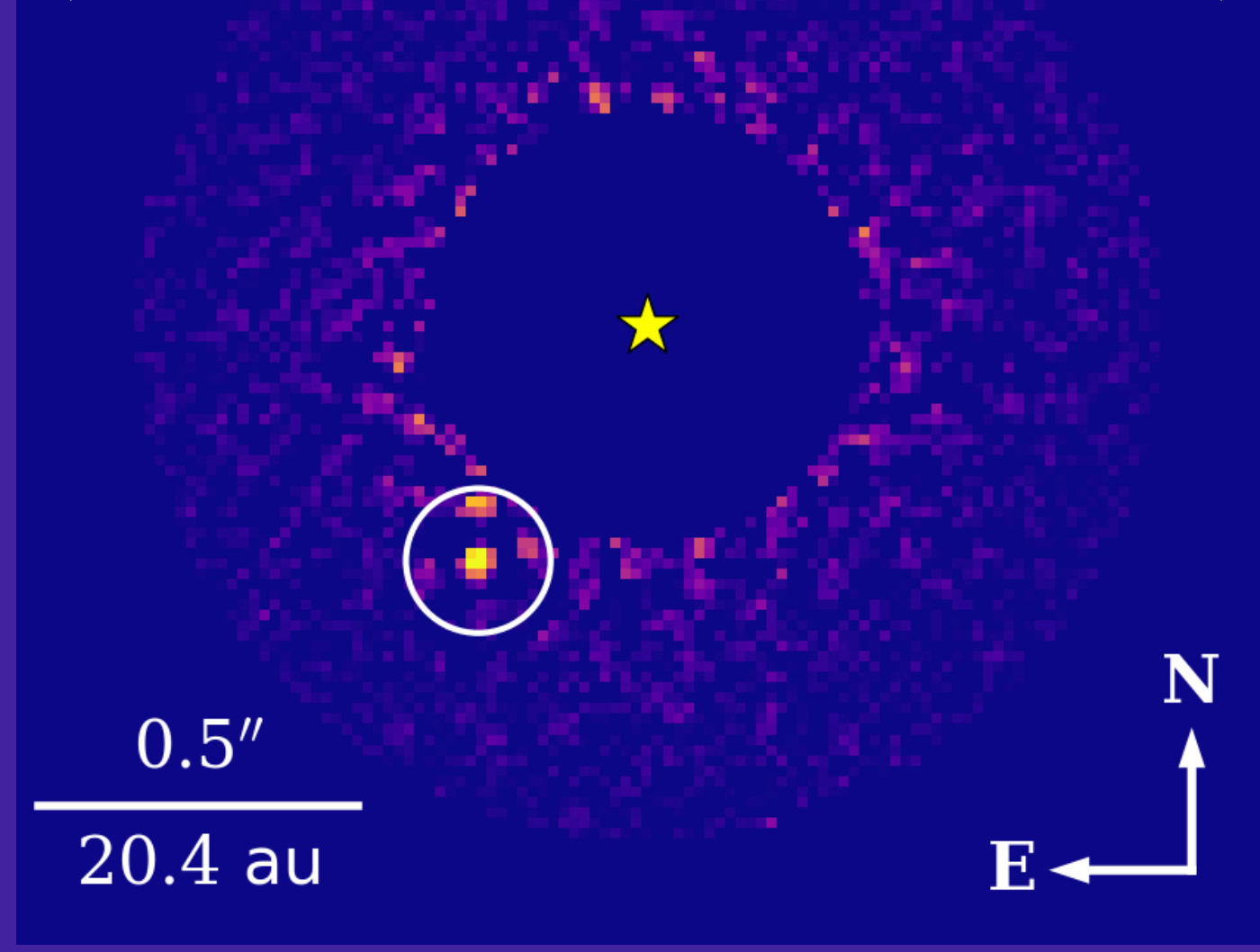


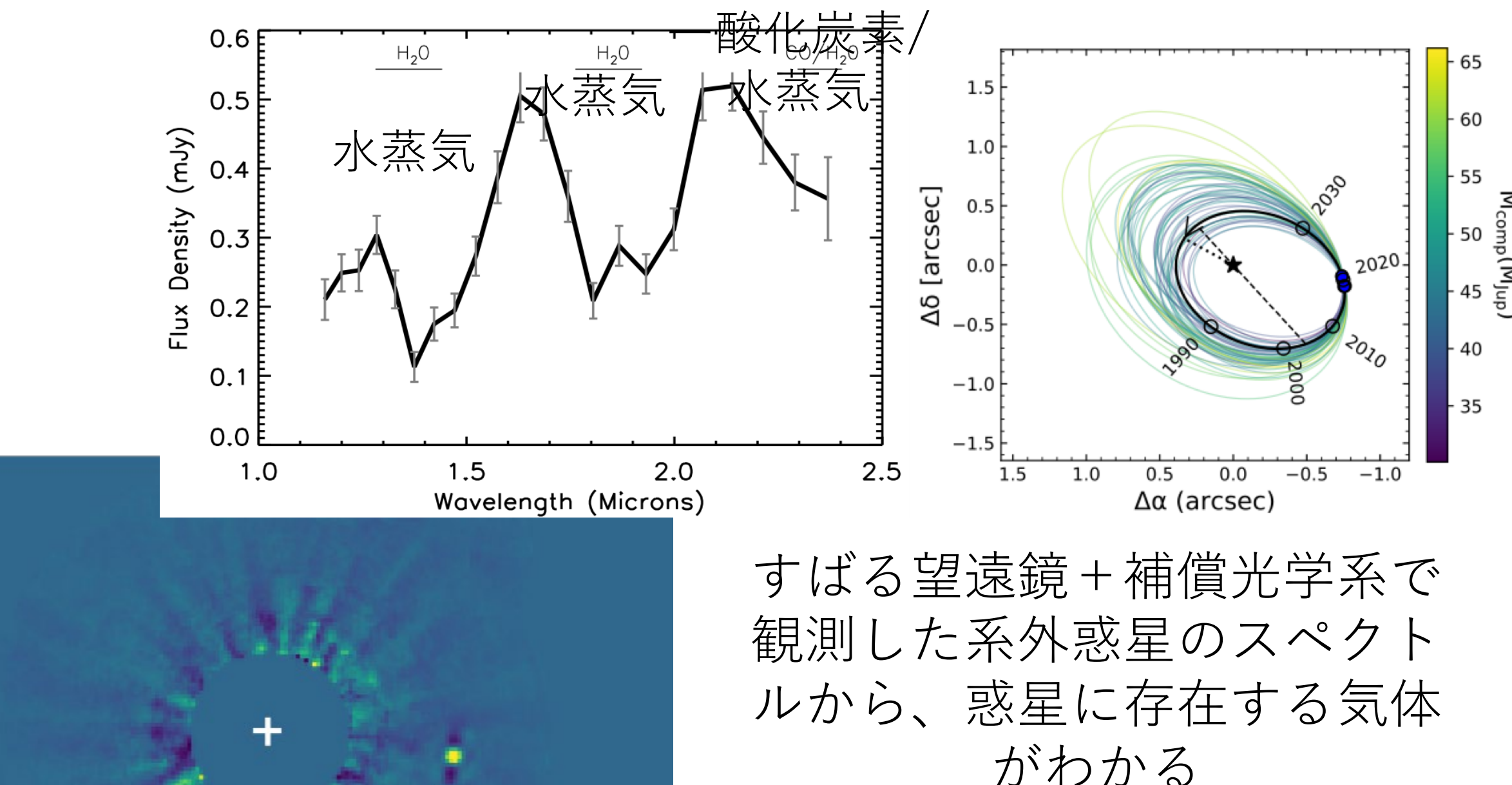


SCExAO/CHARIS 29 July 2020

すばる望遠鏡+補償光学+コロナグラフで観測した太陽系外の惑星 (恒星の周りをまわっていることが確認)

HIP 99770 b
Direct Imaging and
Astrometric Detection of a
Gas Giant Planet Orbiting an
Accelerating Star, Currie et
al. 2023





b

0.5"/13 au

Currie, T. et al. (2020)

AOなし

Infrared image of the Galactic Center (Keck)



Credit: Keck

Infrared image of the Galactic Center (Keck)

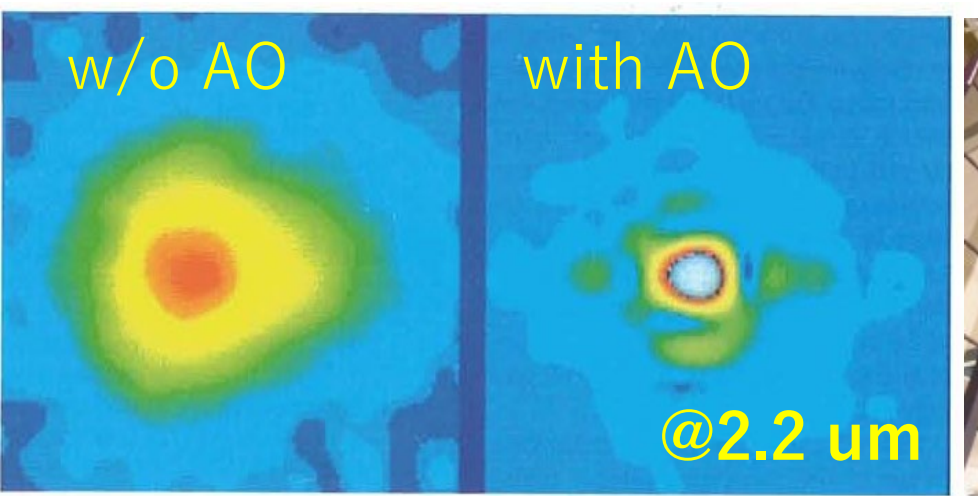
Sgr A*

Penrose、Genzel、Ghez、が銀河中心BHの研究でノーベル賞受賞(AO観測)2020

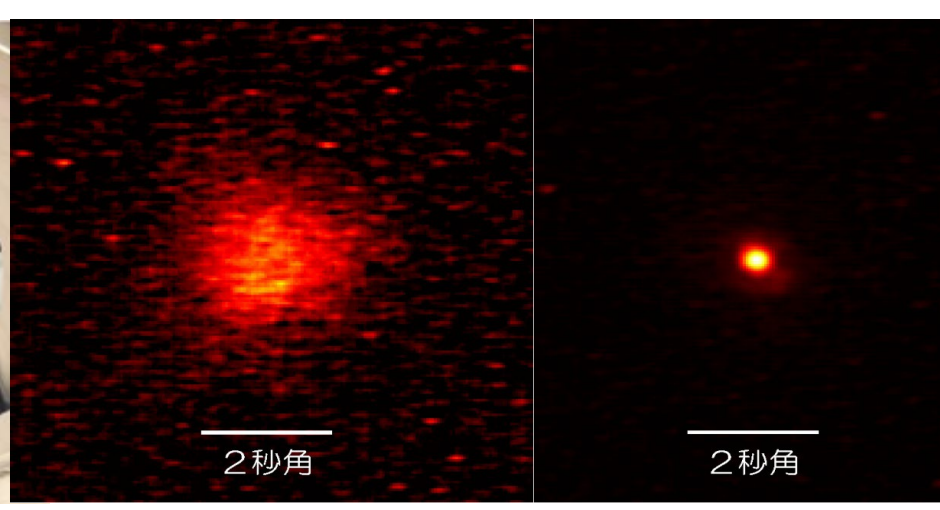
1953 Babcockが補償光学(AO)の概念を提案

AOの歴史

- 1970~80年代:米軍が、人工衛星観測のためのAOシステムを開発(Hardy 達)
- 1989 ESOの3.6m望遠鏡で、初の天文学用AOシステムが稼働
- 1995 米軍の1.5m望遠鏡で、初のレーザーガイド星AO観測
- 1997 日本で初めての天文AO試験(国立天文台三鷹1.5m(現かなた望遠鏡))
- 2000 すばる望遠鏡の最初のAO36
- 2006 第二世代すばるAO188 => 2024 AO3000。 GLAO (開発中)
- 2020 Penrose、Genzel、Ghez、が銀河中心BHの研究でノーベル賞受賞(AO観測)







ESOによる初の天文AO (1989)

国立天文台による初の天文AO (1997)



最初の実験室でのAO閉ループ @CRL(現NICT) 1993 年

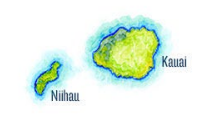
第1世代すばるAO36(2000)

第2世代すばるAO188(2006~)



第二部 天文用補償光学システム開発の考え方 (特に、日本で使う場合)





Map Of Hawaiian Islands - 4 Free PDF Printables | Printablee



日本の主な天文AO開発

北見工大

国内観測 国立天文台(三鷹、ハワイ) 海外

C&D: 東北大学(天文、惑星科学)海外

E: NICT

H:

光通信

東京大学

海外、 国内

G: 京都大学・大阪電通大

国内

国内

国内

京都産業大学

岡山理科大

Commercial Free / Free Clip Arts_Japan_Map_japan_National Foundation Day021 | Nice Illustration (niceillust.com)

システムの最適化が補償光学を開発するカギ

○AOの原理はシンプルであるが、どのように作るべきかの選択は 単純でない。

○システムの最適化が重要

観測地の環境(シーイング、風速、大気揺らぎの高さ分布)、望遠鏡の口径、目指す補正性能、科学的な目的(狭い視野で高性能、広い視野で補正など)、によって大きく変わる。

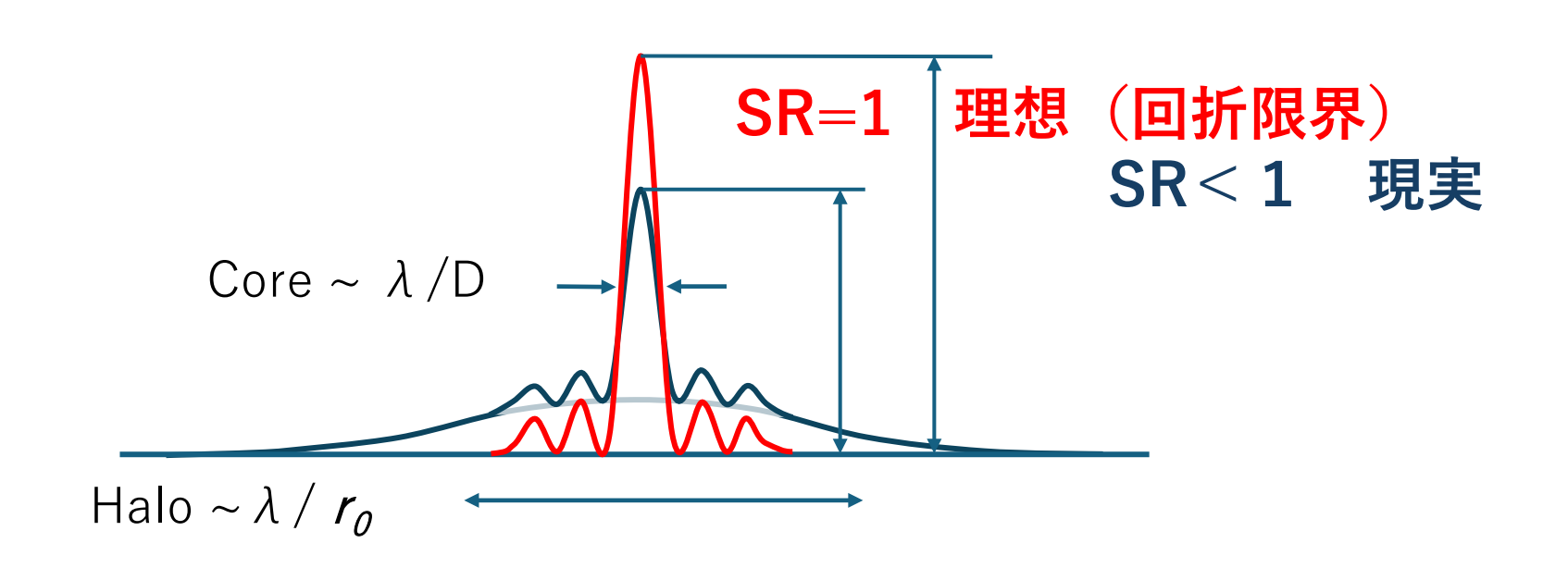
○誤差配分

波面誤差残差の配分の式から表される。それをもとに簡単な分析をすると、どのようなもの(可変形鏡、波面センサ、制御、サイズ、など)を作らないといけないかがわかる。考えは簡単。

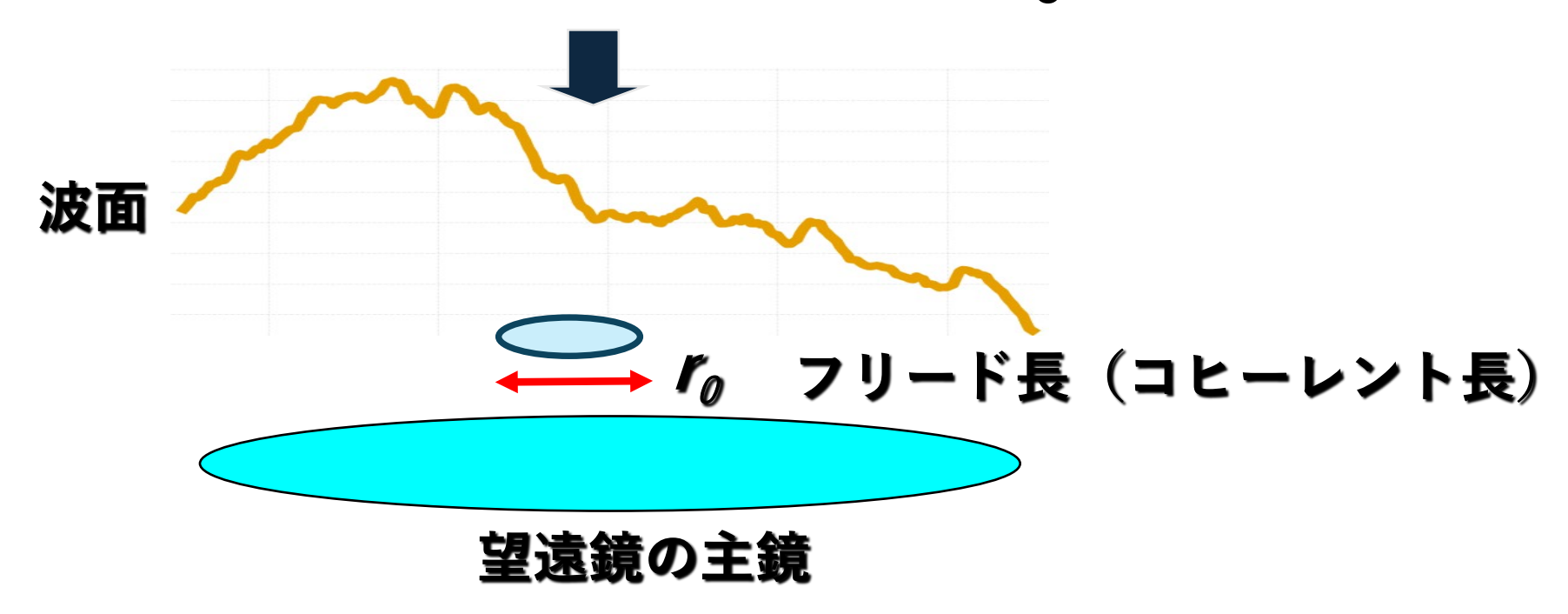
補償光学の性能ストレール比とは、波面誤差との関係

$$Strehl\ ratio\ (SR) = exp(-\sigma_{total}^2) \sim 1-\sigma_{total}^2$$
 σ_{total}^2 全体の波面誤差 $(rad^2\ in\ rms)$ $\sigma_{total}^2 < 1$ の時に成り立つ

例: 波面誤差が
$$0.1 \lambda \text{ (rms) } \times \frac{2\pi}{\lambda}$$
 のとき
$$= > \sigma_{total}^2 = \left(\frac{2\pi}{10}\right)^2 = 0.39 = > \text{SR} = 0.67 \text{ (かなり良い補正)}$$



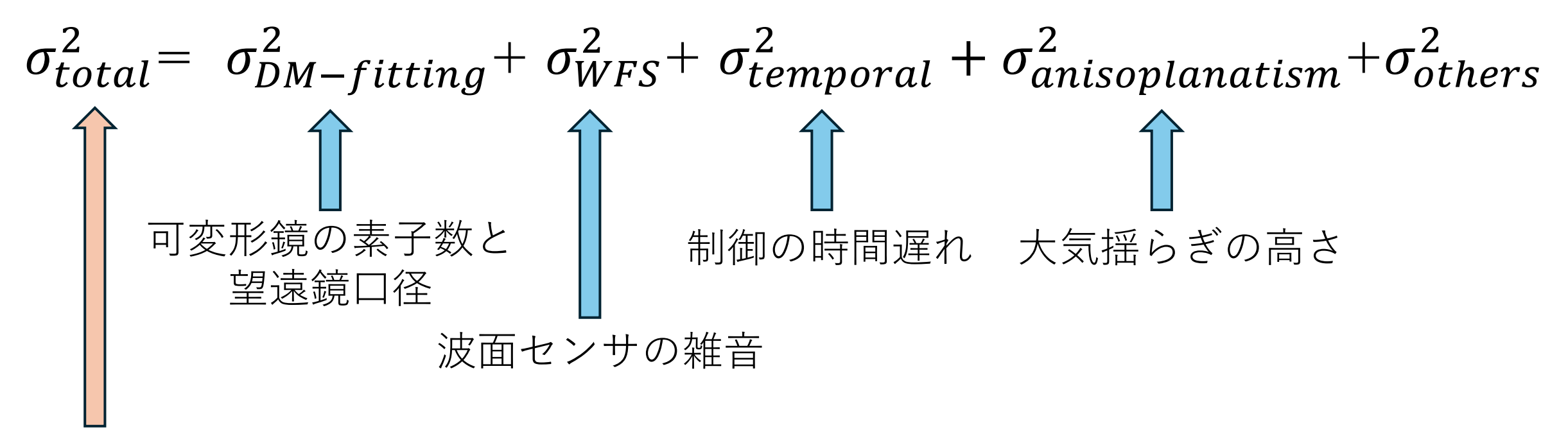
Fried長(コヒーレント長) r_0 とは



"Fried長" r_o : は、その範囲内で波面揺らぎの大きさの自乗平均が 1 rad^2 になる大きさ

ちなみに、シーイング
$$\theta = \frac{\lambda}{r_0}$$
 $r_0 \sim \lambda^{6/5}$

AOの波面誤差は、いくつかの要素の足し合わせ

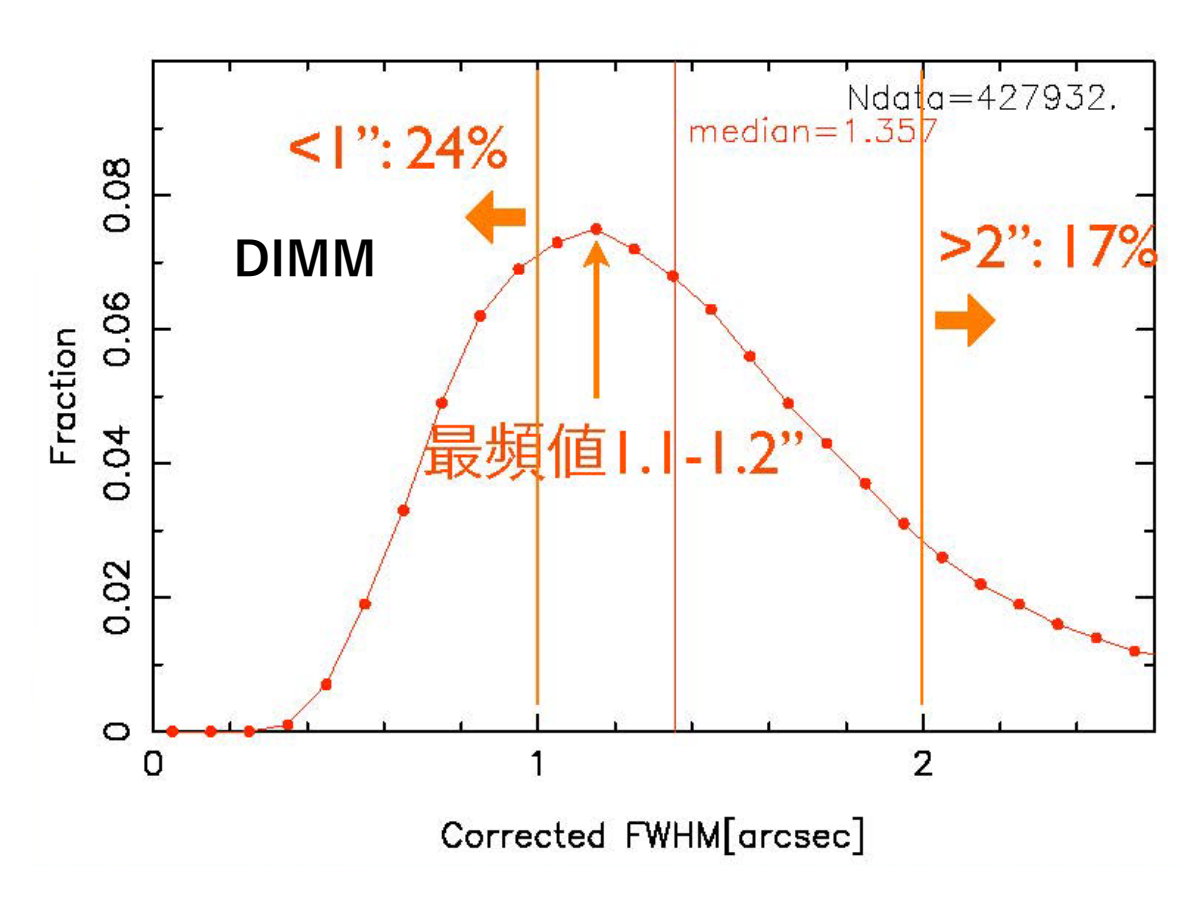


これを0.5程度以下にしたい

$$SR = exp(-\sigma_{total}^2)$$

日本国内のシーイング

岡山観測所 (浅口市)



岡山天体物理観測所のシーイング測定 2004/11-2005/10 by DIMM (measured outside the dome)

木曾観測所 (東京大学)

2-5 秒角 (Tarusawa 1998)

2.9 秒角 @R & I バンド (Minezaki 1998)

3.8 秒角 @R & I band (Nishiura 2002)

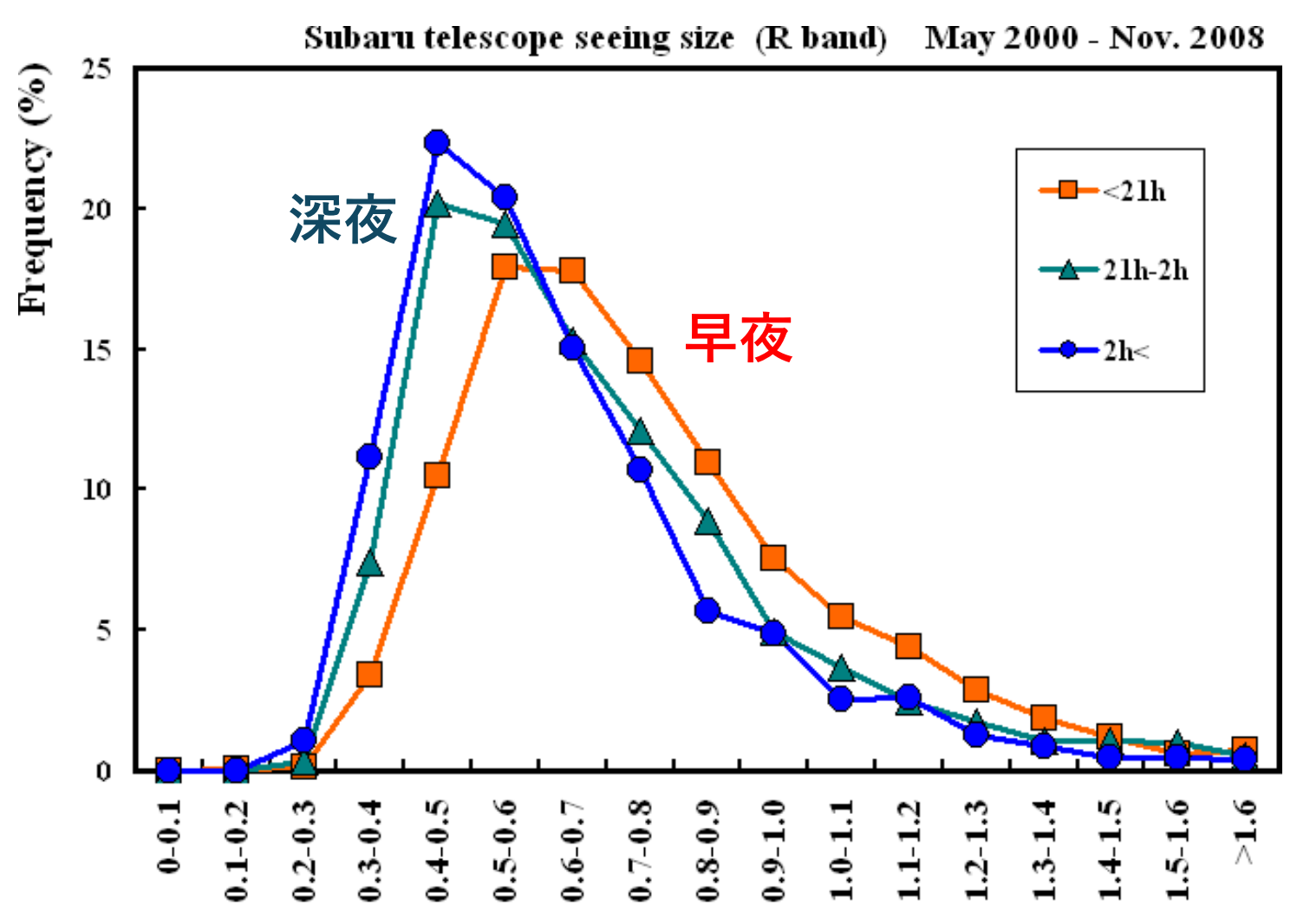
波長の定義: R(660nm)、I(805nm)

http://www.ioa.s.utokyo.ac.jp/kisohp/RESEARCH/symp2005 /Pdf/isogai.pdf

シーイング1.2秒角のとき

r₀ = 10cm @600nm 30cm@1.6um

マウナケア山のシーイング



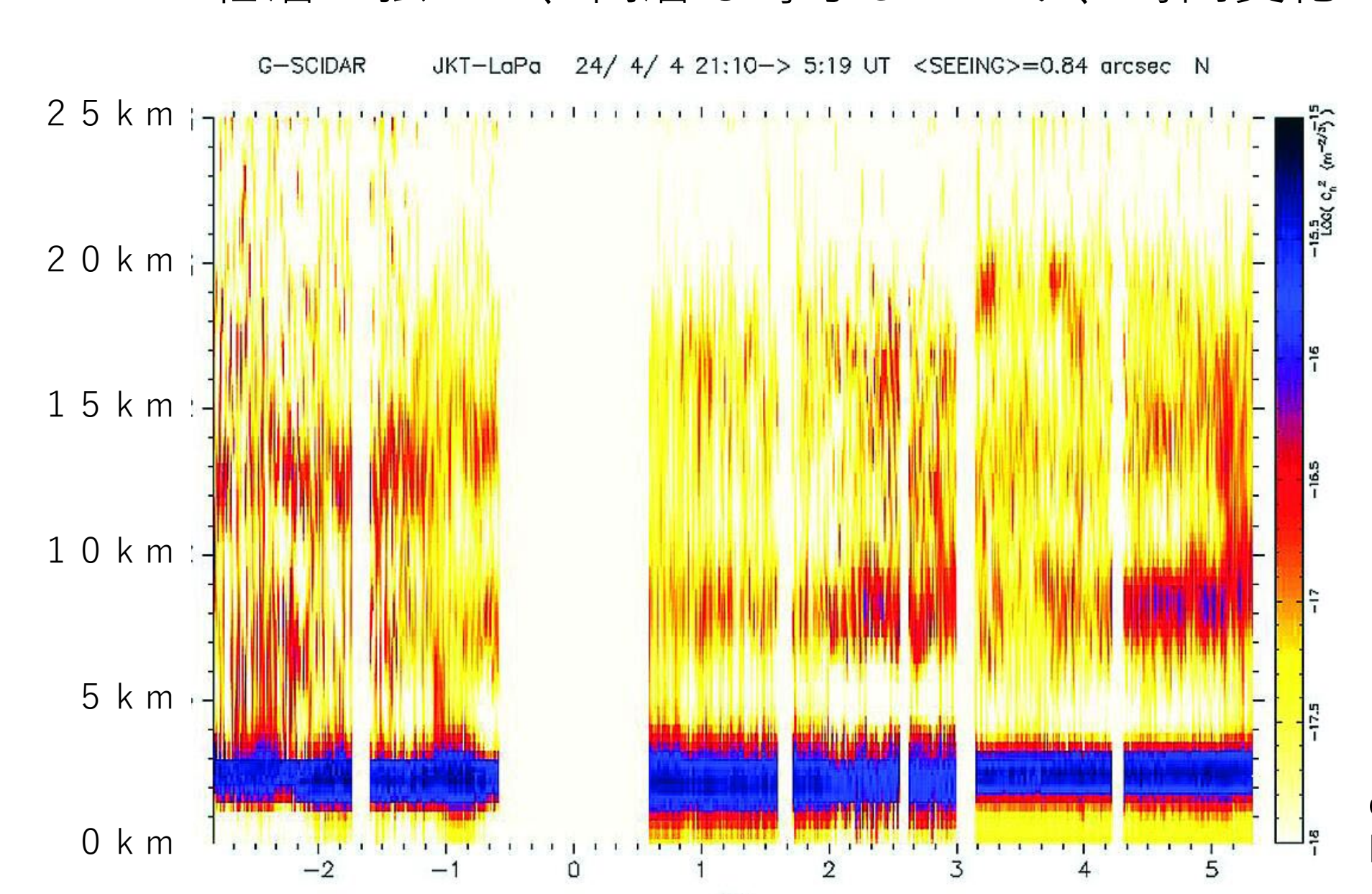
世界的な好適地の一つ。

時間帯によっても変動する (夜になると地面、ドーム 内が冷えて揺らぎが減る)

Seeing size corrected to zenith (FWHM arcsec)

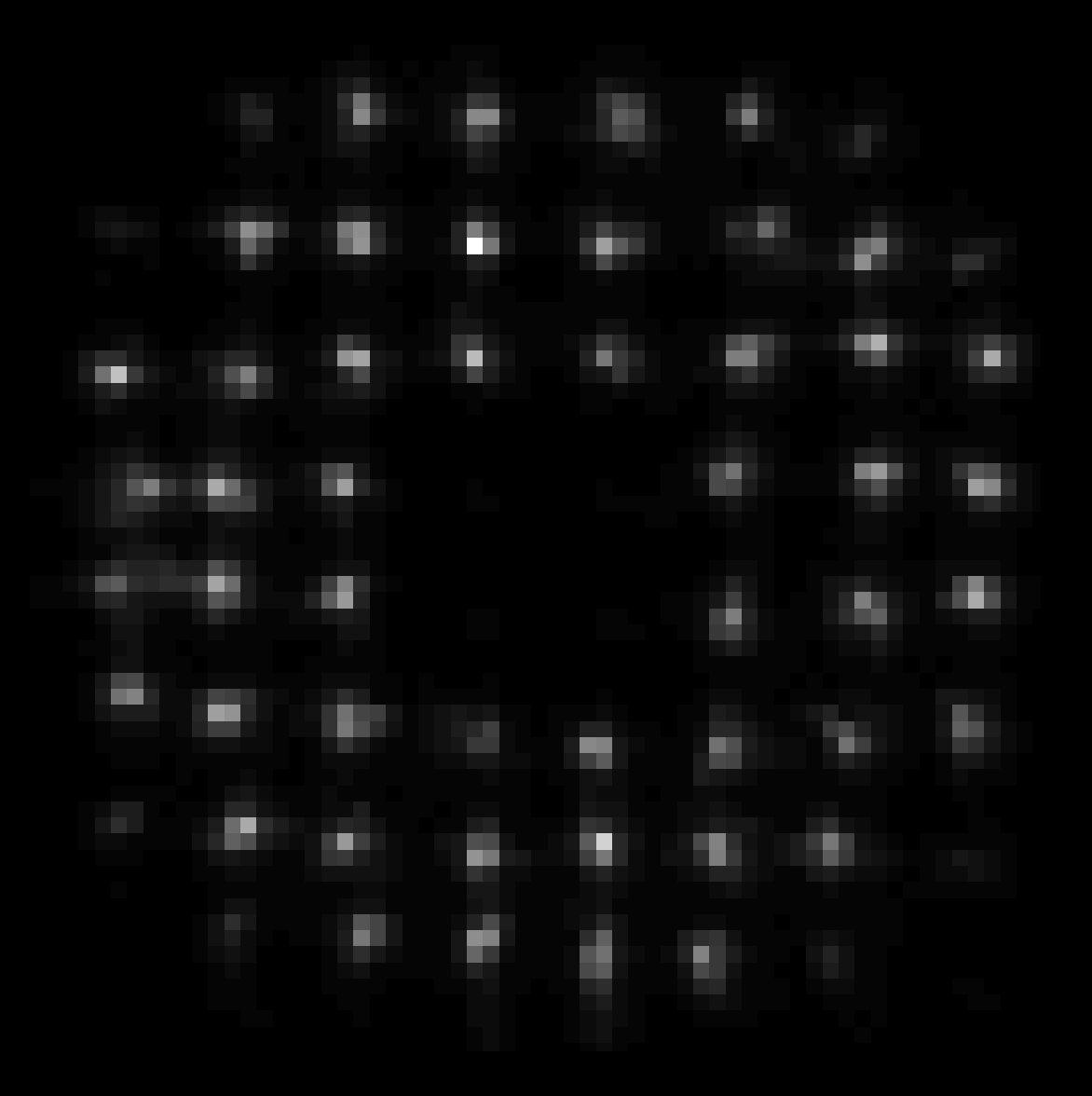
https://www.subarutelescope.org/Observing/Telescope/ImageQuality/Seeing/

大気揺らぎの高さプロファイルの例 低層が強いが、高層も寄与しており、時間変化がある



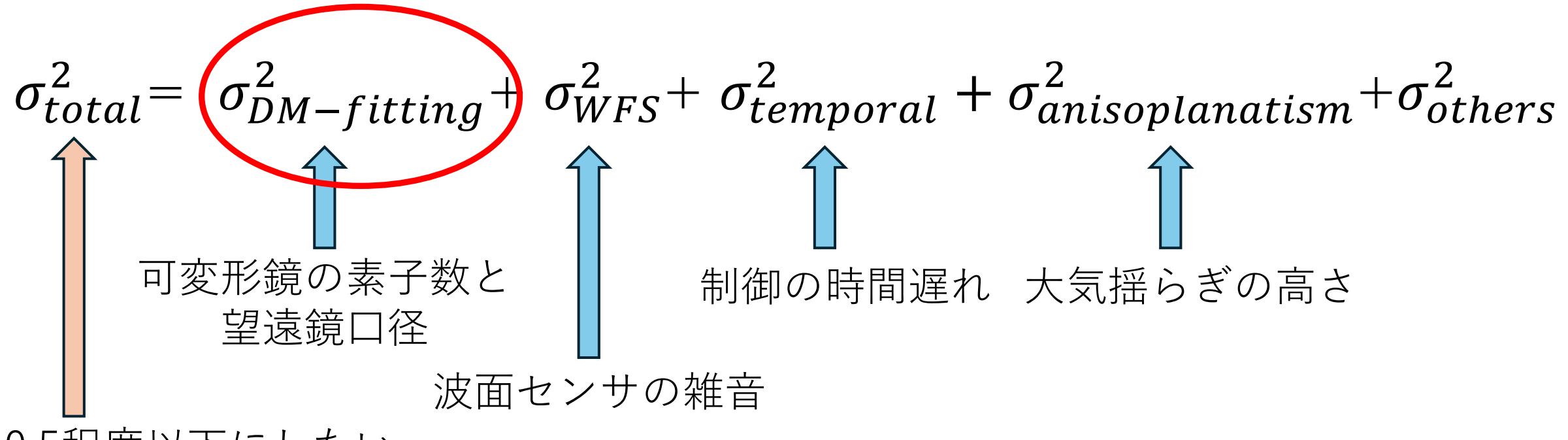
cute-SCIDAR group, J. J. Fuensalida, PI

シャックハルトマンセンサの実際の信号の例



Credit: Cyril Cavadore

AOの波面誤差は、いくつかの要素の足し合わせ



0.5程度以下にしたい $SR = exp(-\sigma_{total}^2)$

全体で0.5以下を狙うと回折限界の像が得られる。そのためには、それぞれを0.1以下程度にする。バランスをとる。

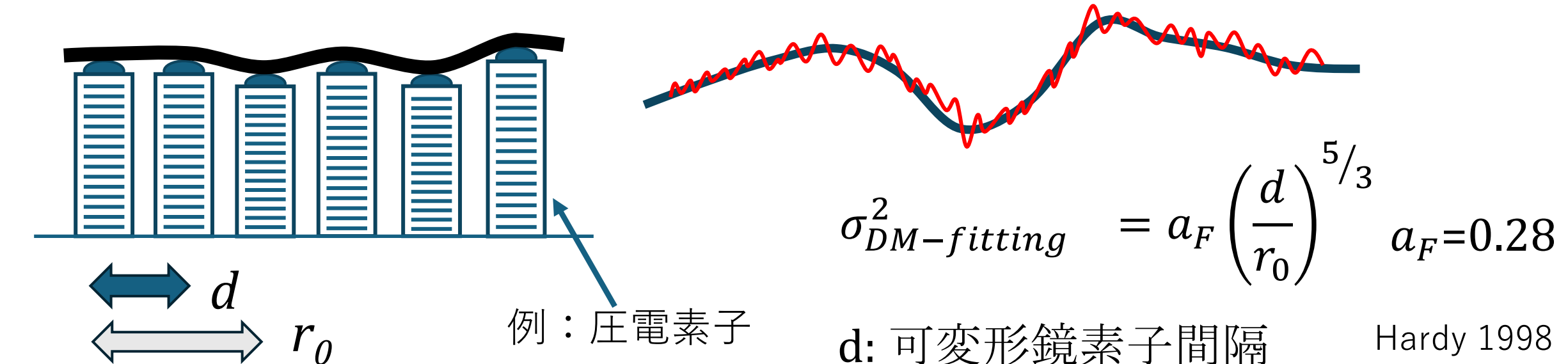
高見が最初にAOを作ったときには、できていなかった。

では、日本での数字を入れるとどうなるか

- ○望遠鏡口径 D: 1~3.8m くらい
- ○コヒーレント長 r0 : 岡山での条件 可視10cm (600nm、1.2秒角シーイング相当) 赤外30cm (1.6um)
- ○風速 v: 10m/sec(変化が大きい、低層と高層で 異なる。気象庁データ参照)
- 〇揺らぎ層の高さ数km(低層と高層の平均)

可変形鏡のフィッティング誤差

なめらかな表面の鏡

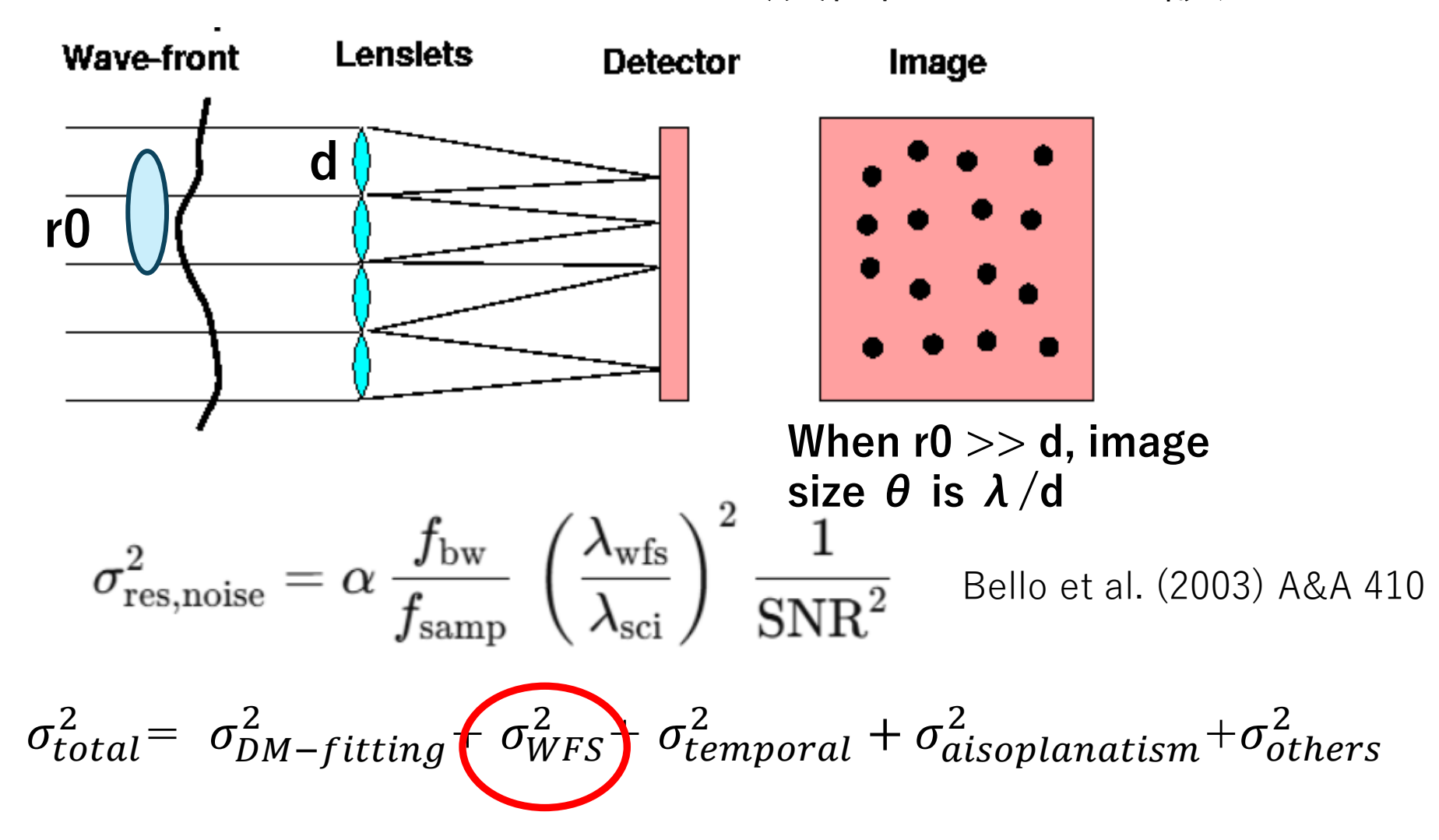


$$\sigma_{total}^2 = \left(\sigma_{DM-fitting}^2\right) + \sigma_{WFS}^2 + \sigma_{temporal}^2 + \sigma_{anisoplanatism}^2 + \sigma_{others}^2$$

 $\sigma_{DM-fitting}^2$ <0.1 を目指すと \Rightarrow d < 0.53 r_0 が必要。

口径1m、 $r_0 = 10$ cmのとき、DMは19x19素子以上が必要。

シャックハルトマン波面センサの誤差



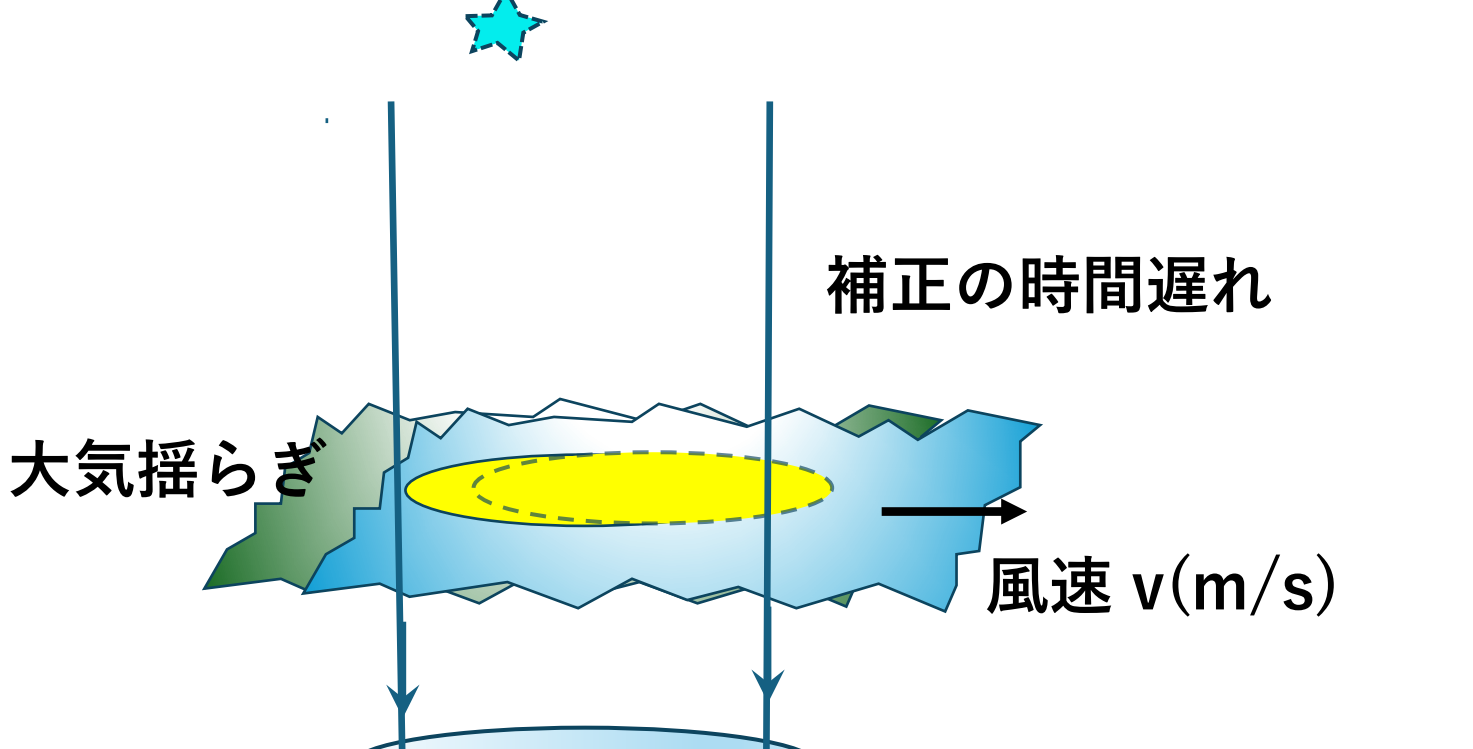
波面センサの誤差は基本的には測定のSNR(読み出し雑音、フォトン雑音)で決まる。

⇒ ガイド星の等級の超概算 可視AO 6-8等星、赤外AO 11-14等星



時間遅れ Time delay

現実に必要な制御周期は $< 0.2 \tau_0 < 5 \rangle$



$$\sigma_{time\ delay}^2 = \left(\frac{\tau_{delay}}{\tau_0}\right)^{5/3}$$
<0.1を目指す

$$au_0 = 0.314 \frac{r_0}{v}$$
 Hardy 1998

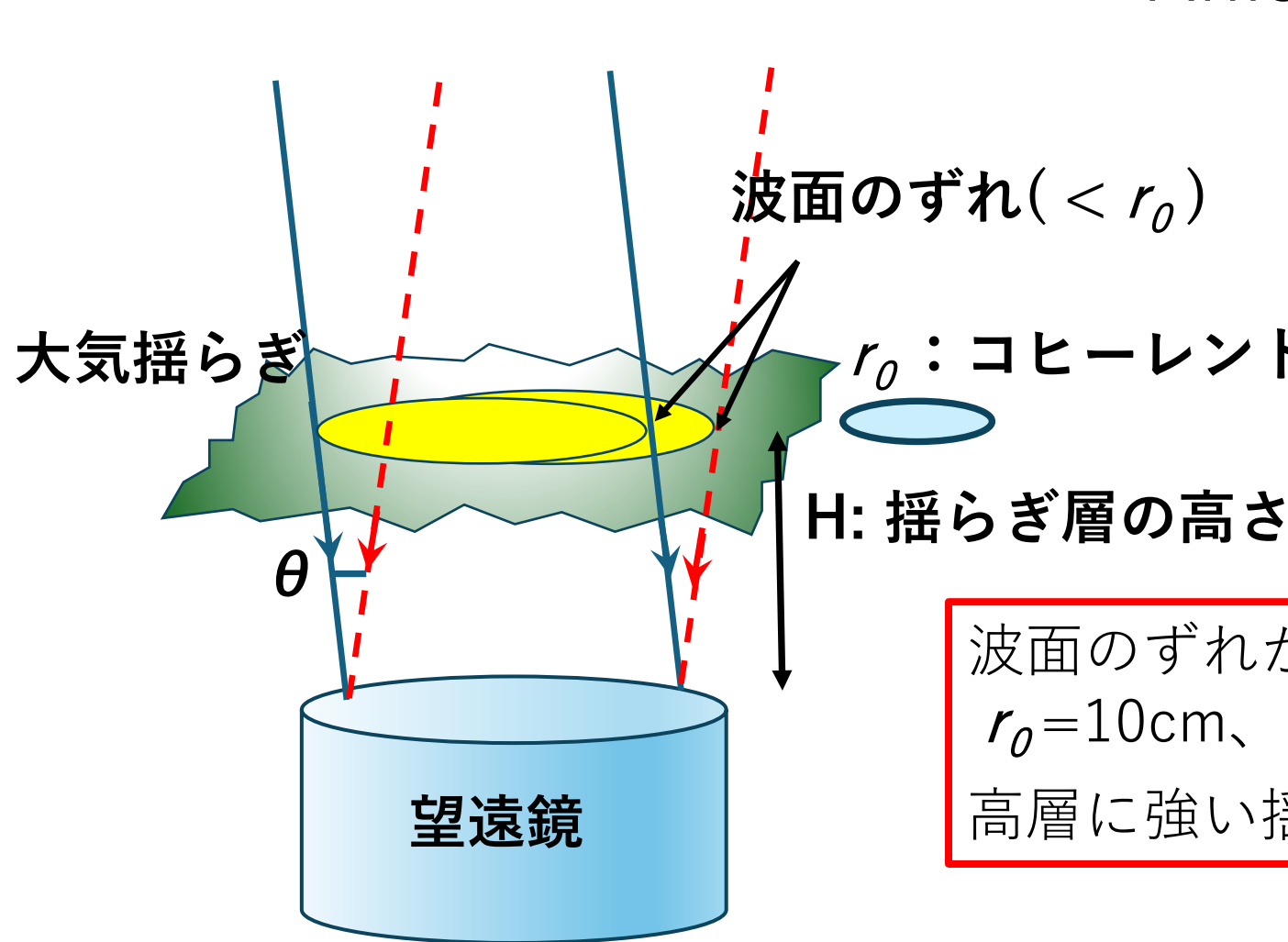
望遠鏡

r0=10cm、10m/sのとき⇒1.6kHz以上の制御周期が必要

$$\sigma_{total}^2 = \sigma_{DM-fitting}^2 + \sigma_{WFS}^2 + \sigma_{temporal}^2 + \sigma_{anisoplanatism}^2 + \sigma_{others}^2$$

天体 ガイド星 **☆**

アイソプラナティズム Anisoplanatism



$$\sigma_{anisoplanatism}^2 = \left(\frac{\theta}{\theta_0}\right)^{5/3}$$

$$\theta_0 = 0.314 \frac{r_0}{H} \text{ Hardy 1998}$$

波面のずれが $0.314 r_o$ になると、 $\sigma^2 = 1$ になる $r_o = 10$ cm、"H(平均" 3km" $) = > \theta_0 = 2.2$ 秒角 高層に強い揺らぎがあると補正できる視野が狭い

 $\sigma_{total}^{2} = \sigma_{DM-fitting}^{2} + \sigma_{WFS}^{2} + \sigma_{temporal}^{2} + \sigma_{anisoplanatism}^{2} + \sigma_{others}^{2}$

【館野 2025年1月1日9時】

日本の風速の高さ分布はどうなのか

 圧(hPa)
 高度(m)
 気温(℃)
 相対湿度(%)
 風速(m/s)
 風向(°)

 1013.3
 26
 5.9
 46
 1.5
 280

指疋気圧面

気象庁過去の気象データ	気圧(hPa)	ジオポテンシャル 高度(m)	気温(℃)	相対湿度(%)	風速(m/s)	風向(°)
の検索(高層)	1000	134	4.2	44	5	301
	925	762	-0.2	51	14	292
	900	981	-1.5	47	11	302
冬 2025/1/1@館野	850	1432	-5.1	49	4	273
低層は10m/s	800	1906	-7.9	41	8	331
	700	2937	-11.6	23	23	300
高層(200hPa~12km) は	600	4114	-14.6	10	29	291
	500	5471	-24.4	11	34	287
70-80m/s	400	7056	-36.2	7	44	283
	350	7973	-39.4	///	52	282
https://www.data.ima.go.in/atata/atra	300	9031	-39.8	///	61	277
https://www.data.jma.go.jp/stats/etrn	250	10271	-39.1	///	78	282
/upper/view/hourly_usp.php?year=202	200	11794	-42.3	///	79	282
5&month=7&day=1&hour=9&atm=&p	175	12688	-44.9	///	69	285
oint=47646&view=	150	13703	-51.2	///	68	282
	125	14880	-54.0	///	59	288
	100	16288	-59.8	///	44	284

日本の風速の高さ分布はどうなのか ■

気象庁 過去の気象データ の検索(高層)

夏 2025/7/1@館野 低層は数m/s 高層(200hPa~12km) は 11-13m/s

https://www.data.jma.go.jp/stats/etrn/upper/view/hourly_usp.php?year=2025&month=7&day=1&hour=9&atm=&point=47646&view=

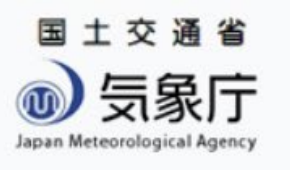
野 2025年7月1日9時】

2

圧(hPa)	高度(m)	気温(℃)	相対湿度(%)	風速(m/s)	風向(°)
1011.4	26	27.9	81	1.5	240

指定気圧面

気圧(hPa)	ジオポテンシャル 高度(m)	気温(℃)	相対湿度(%)	風速(m/s)	風向(°)
1000	127	26.3	84	2	203
925	811	21.1	95	4	228
900	1048	21.4	62	4	220
850	1546	20.6	63	4	234
800	2068	16.6	80	5	273
700	3190	9.2	77	8	323
600	4455	3.2	47	12	314
500	5910	-5.5	65	10	318
400	7622	-17.2	66	12	314
350	8613	-23.7	53	12	309
300	9715	-32.1	68	11	315
250	10976	-41.9	///	13	305
200	12446	-54.0	///	11	288
175	13287	-60.7	///	11	287
150	14234	-65.1	///	15	306
125	15340	-67.8	///	13	334
100	16682	-69.8	///	5	339



ENGLISH Other Languages 検索 Google 提供

ホーム

防災情報

各種データ・資料

地域の情報

知識・解説

各種申請・ご案内

ホーム > 各種データ・資料 > 過去の気象データ検索(高層) > 地点の選択

地点の選択



地点

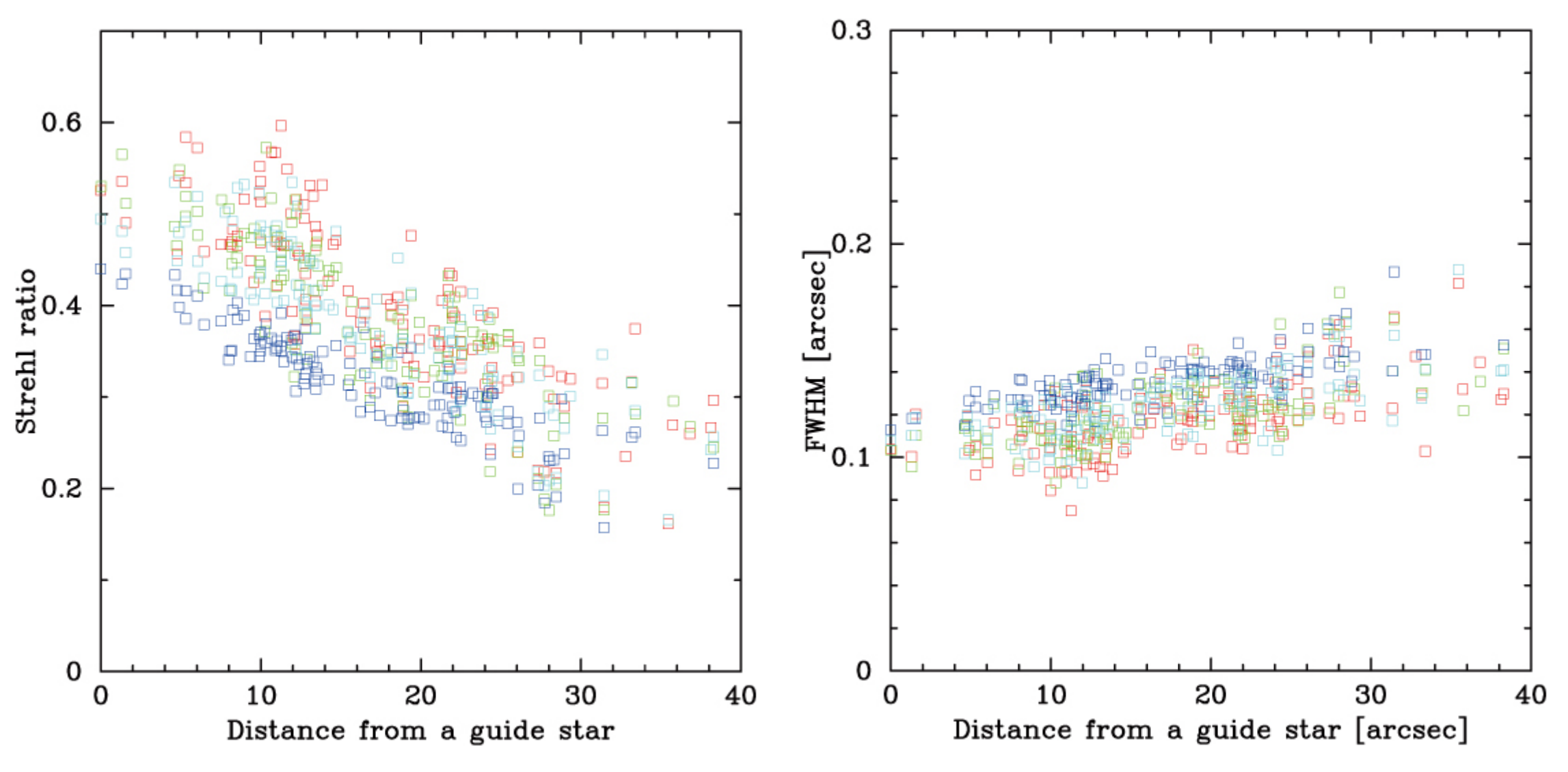
ローマ字

緯度

経度

気圧計の高さ

AOの補正が効く視野:マウナケア、AO188での実測値



マウナケアで波長2.2umでは、r0~0.9mであるので、先の見積もりより10倍広い

低コストWFS素子はないのか?



製造 >

資料 ~ 企業情報 ~

全製品 / カメラ / USBカメラ / Teledyne Imaging FLIR/IIS Blackfly S USB 3.1 カメラ

FLIR Blackfly S カメラ BFS-U3-23S3 白黒 C

Teledyne FLIR の更なる情報へ



FLIR/IIS Blackfly S USB 3.1 カメラ (前面側)

商品コード #12-747 お問い合わせ ●類似するカメラ

¥58,900

カートに加える

クイック見積り 数量 1+ 見積依頼する ¥58,900

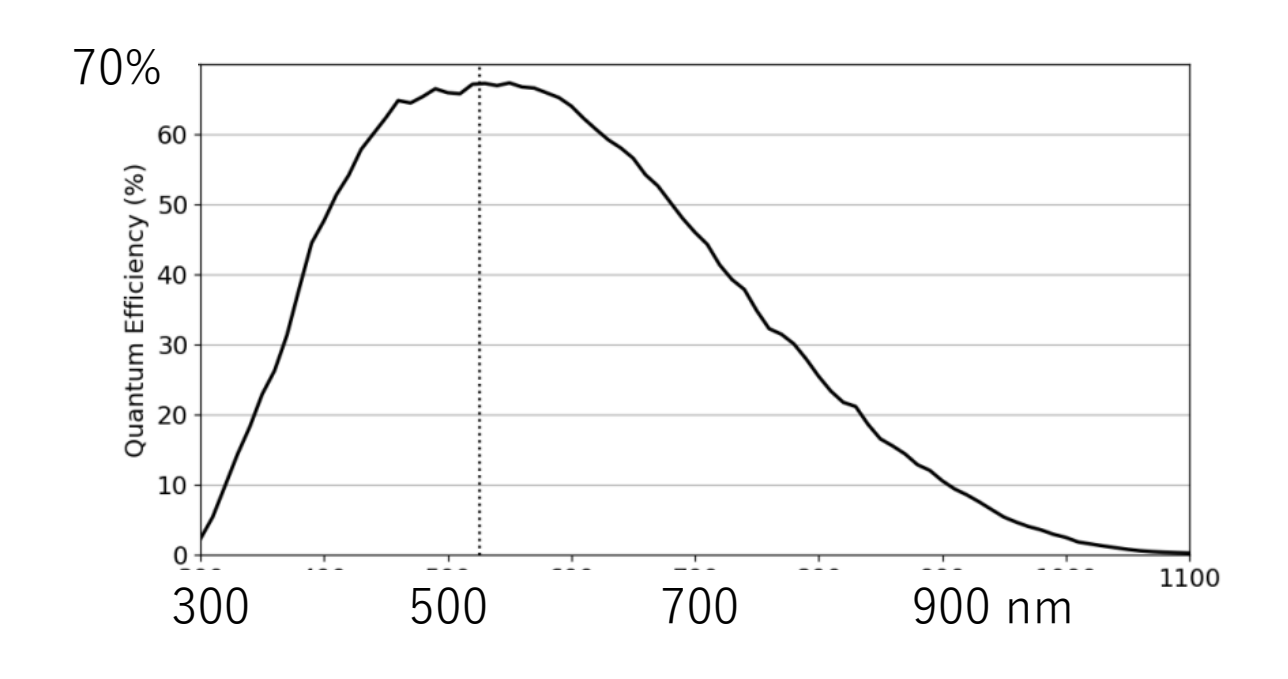
+ お気に入りリストに加える

□ 比較する

- 1920x1200素子 163fps
- 120x120素子で1.4kfpsで読出し(見積) (SHセンサで、12x12~15x15サブア パーチャ)
- 読み出し雑音 ~2.4e-/pix
- Peak QE 66%

低コストで低雑音 産業用素子 (Sony製) のおかげ

Blackfly S BFS-U3-23S3M Spectral Response Curve



使ったことはないのですが。

低コストセンサと、読出し雑音0のセンサ性能比較

SHセンサのS/N	必要フォトン数 低コストカメラ 24e-/サブアパーチャ	必要フォトン数 EMCCD ノイズゼロ、 実効QEが1/√2
1	24.5	1.4
2	50.0	5.7
3	76.6	12.7
5	133.1	35.4
1 0	295.2	141.4

○可視光観測の場合、波面センサのS/N=5-10で使う。 センサの感度の違いは、0.8~1.4等 結構いける

○赤外1.6um観測の場合、S/N~2程度で良い。 センサの感度の違いは、~2.5等程度 差が大きい

$${
m SNR}=rac{N_{\gamma}}{\sqrt{N_{\gamma}+\sigma_{r}^{2}}}$$
 を解いた結果。 ${
m SNR}=\sqrt{QE_{
m eff}N_{\gamma}}\Rightarrow N_{\gamma}=S^{2}\sqrt{2}$ 。

まとめ

- ○天文補償光学の紹介 約35年の歴史、着実に、技術課題をクリアしつつ進歩している。
- ○補償光学システムを開発するためには、シーイング、観測波長、風速、大気揺らぎの高さ、などに合わせてシステム最適化することが重要。
- 〇誤差配分の式を利用すると比較的容易に基本的な最適化ができる。すばる初期の AOではやっていなかった(反省)。
- 〇日本のシーイング(岡山、1.2秒角)でシステム設計を試みた。東京のシーイング(~3秒角)だと設計が難しくなる。日本国内の大気揺らぎの高さ情報のデータがない(世界ではデータを取りつつある)。
- ○近年低コストのWFS用の二次元センサが出てきたので、読出し雑音なしのセンサ (高価)とガイド星に必要な等級を比較した。赤外観測では限界等級の差が増える。